

який використовується для визначення напружень під штампом згідно з формулою /32/.

Графіки величин  $\mathcal{G}_z(\rho, 0) = -\frac{\rho}{2\pi R^2} \mathcal{G}_z^*(\rho)$ ,  
 $U_z(\rho, \ell) = -\frac{\rho}{2\pi R^2 \chi_0} U_z^*(\rho)$  для значень  $\ell = 0,8$ ;  
 $C = 0,2; 0,5; 0,7$  показані на рис. 2, 3, а для значень  
 $C = 1, 2; \ell = 1,1; 1,5; 4$  - на рис. 4, 5.

Дослідження показують, що зі зменшенням товщини шару при фіксованому радіусі вирізу основи та зі збільшенням радіуса вирізу основи при фіксованій товщині шару контактні напруження під штампом спадають, а переміщення нижньої границі шару над вирізом зростають.

Список літератури: 1. Грилицкий Д.В., Кизима Я.М. Осесимметричные контактные задачи теории упругости и термоупругости. - Львов: Выща школа. Изд-во при Львов. ун-те, 1981. 2. Демидович Б.П., Марон И.А., Шувалова Э.З. Численные методы анализа. - М.: Физматгиз, 1967. 3. Снедdon И.Н. Преобразования Фурье. - М.: ИЛ, 1955. 4. Уиттекер Э.Т., Ватсон Г.Н. Курс современного анализа. - М.: Физматгиз, 1963.

Стаття надійшла в редколегію 15.02.82

УДК 539.3

І.П.Шацький

ПОЛОГА ЦИЛІНДРИЧНА ОБОЛОНКА  
З ЖОРСТКИМ ВІКЛЮЧЕННЯМ ВЗДОВЖ НАПРЯМОЇ

Розглянемо пологу циліндричну оболонку Кірхгофа радіуса  $R$  і товщини  $h$ , яка містить абсолютно жорстке лінійне віклення довжини  $2b$ , локалізоване вздовж відрізка напрямної. Оболонка перебуває під дією симетричного відносно лінії віклення навантаження. Дослідимо вплив кривини серединної поверхні оболонки на концентрацію напружень в околі кінців жорсткого віклення.

Для розв'язування задачі виберемо в серединній поверхні оболонки декартову систему безрозмірних координат  $xOy$  з початком у центрі включення та віссю  $Ox$  вздовж напрямної. Надалі для зусиль і моментів в оболонці збережемо позначення праці [2].

З допомогою інтегрального перетворення Фур'є відомим прямімом [2] задача зведена до визначення невідомих функцій стисків зсувного та перерізуючого зусиль із системи сингулярних інтегральних рівнянь

$$\frac{1}{2\pi} \sum_{k=1,3}^j \int_{-1}^1 K_{jk}(\xi-x) f_k(\xi) d\xi = F_j(x), \quad x \in [-1,1], \quad j=1,3. \quad /1/$$

де

$$f_1(x) = S(x, +0) - S(x, -0);$$

$$f_3(x) = \sqrt{12(1-v^2)} \frac{c}{h} \int_{-1}^x [Q_y^*(\xi, +0) - Q_y^*(\xi, -0)] d\xi - \lambda^2 \iint_{-1}^x [S(\xi, +0) - S(\xi, -0)] d\xi d\zeta;$$

$$K_{11} = (3+2v-v^2) M_1 + M_3; \quad K_{13} = -K_{31} = (1-v) M_2; \quad K_{33} = -M_1;$$

$$M_1(z) = \frac{d}{dz} \ker \zeta; \quad M_2(z) = \frac{d}{dz} \ker i\zeta; \quad M_3(z) = \lambda^2 \int_0^z \ker i\zeta dz;$$

$$\zeta = \frac{\lambda}{2} |z|; \quad z = \xi - x; \quad \ker \zeta, \quad \ker i\zeta \quad - \text{функції Томсона};$$

$$\lambda^2 = \frac{c^2}{R^2} \sqrt{12(1-v^2)}; \quad v - \text{коєфіцієнт Пуассона матеріалу оболонки};$$

$$F_1(x) = -T_x^0 + v T_y^0, \quad F_3(x) = \frac{12}{\sqrt{12(1-v^2)}} (G_x^0 - v G_y^0) / h; \quad /2/$$

функції основного напружено-стани.

Система інтегральних рівнянь /1/ має єдиний розв'язок у класі необмежених функцій при виконанні додаткових умов

$$\int_{-1}^1 f_k(\xi) d\xi = 0, \quad k=1,3. \quad /3/$$

Для оцінки напруженого стану оболонки в околі кінців включення використаємо асимптотичні співвідношення, які застосовують у задачах розтягу-згину пластин з короткими включеннями [1]

$$\begin{bmatrix} T_r \\ T_\vartheta \\ S_{r\vartheta} \end{bmatrix} = \frac{K_1^\pm}{4\sqrt{2}r} \begin{bmatrix} 5\cos\frac{1}{2}\vartheta + \frac{7-\nu}{1+\nu} \cos\frac{3}{2}\vartheta \\ 3\cos\frac{1}{2}\vartheta - \frac{7-\nu}{1+\nu} \cos\frac{3}{2}\vartheta \\ \sin\frac{1}{2}\vartheta - \frac{7-\nu}{1+\nu} \sin\frac{3}{2}\vartheta \end{bmatrix} + O(r^0),$$

$$(3+\nu) \begin{bmatrix} G_r \\ G_\vartheta \\ H_{r\vartheta} \end{bmatrix} = \frac{K_3^\pm}{4\sqrt{2}r} \begin{bmatrix} (3+5\nu)\cos\frac{1}{2}\vartheta + (1-\nu)\cos\frac{3}{2}\vartheta \\ (5+3\nu)\cos\frac{1}{2}\vartheta - (1-\nu)\cos\frac{3}{2}\vartheta \\ (1-\nu)\sin\frac{1}{2}\vartheta - (1-\nu)\sin\frac{3}{2}\vartheta \end{bmatrix} + O(r^0), \quad /4/$$

$$(3+\nu) \begin{bmatrix} Q_r \\ Q_\vartheta \end{bmatrix} = \frac{K_3^\pm}{12r^3} \begin{bmatrix} -\cos\frac{1}{2}\vartheta \\ -\sin\frac{1}{2}\vartheta \end{bmatrix} + O(r^{-1}),$$

де

$$K_i^\pm = \pm A_i \sqrt{\ell} \lim_{x \rightarrow \pm i} \sqrt{1-x^2} f_i(x); \quad i=1,3 -$$

коєфіцієнти інтенсивності зусиль та моментів  $A_1=(1+\nu)/4, A_3=(3+\nu)/4$ ;  
 $\gamma, \vartheta$  - полярні координати з початком у вершині включення  
 $x=t_1$ .

Наближений розв'язок рівнянь /1/, /3/ при  $\nu=1/3$  побудовано методом механічних квадратур.

На рис. 1, 2 показані графіки залежностей зведеніх коєфіцієнтів інтенсивності зусиль та моментів від параметра кривини  $\lambda$  для кішадку розтягу оболонки осьовими зусиллями інтенсивності  $\rho$ , рівномірно розподіленими вздовж напрямної ( $T_x^o=G_x^o=G_y^o=0, T_y^o=\rho$ ).

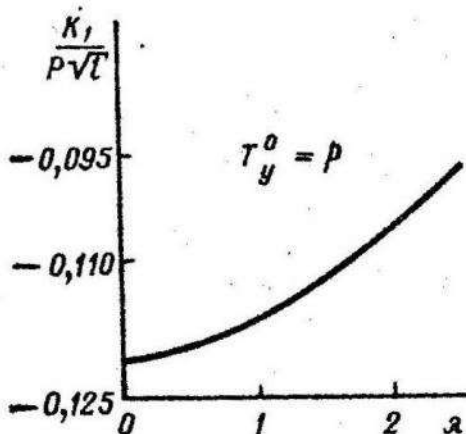


Рис. 1.

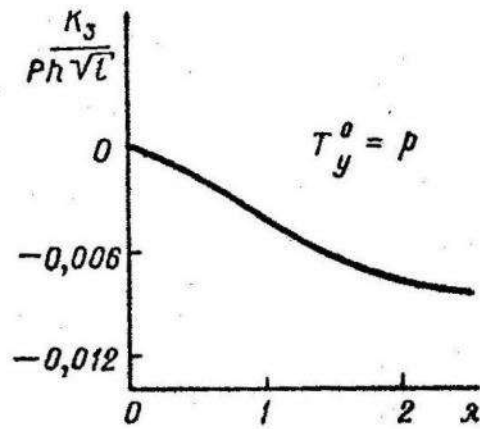


Рис. 2.

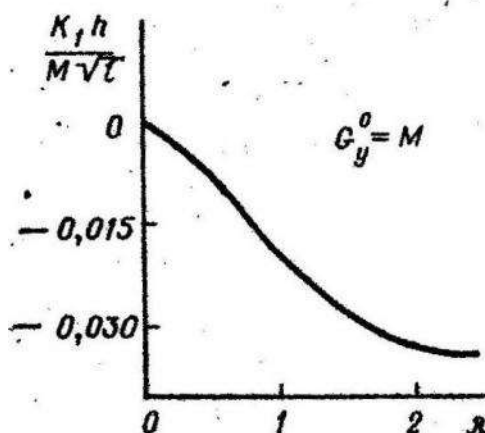


Рис. 3.

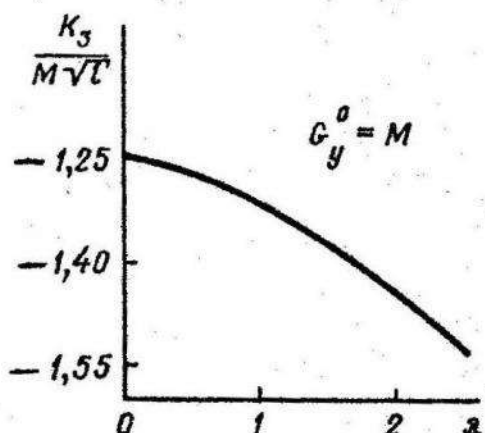


Рис. 4.

Згину циліндричної панелі рівномірно розподіленими моментами  $T_x^0 = T_y^0 = G_x^0 = 0, G_y^0 = M$  відповідають криві на рис. 3, 4.

При безмоментному навантаженні зі збільшенням параметра кривини  $\lambda$  абсолютне значення мембраниого коефіцієнта інтенсивності  $K_1$  спадає, а згинного  $K_3$  - зростає. При моментному наван-

таженні ріст параметра кривини приводить до підвищення рівня і мембральної, і згинної складових напруженого стану в околі вершини короткого включення.

Як випливає з формул /2/, випадки навантаження труби з вільними кінцями рівномірним внутрішнім тиском /  $T_x^o = qR$  / і згину циліндичної панелі моментами  $G_x^o = M$  одержують з результатів, показаних на рис. I-4, множникам на  $-1/\nu$ . Крім того, при заданому коефіцієнті Пуассона завжди існує така комбінація зовнішнього навантаження, що  $F_1 = F_3 \equiv 0$ , і коротке включення не викликає збурення напруженно-деформованого стану в пологій оболонці.

Список літератури: 1. Бережницкий Л.Т., Дем'янський М.В., Панасюк В.В. Изгиб тонких пластин с дефектами типа трещин. - К.: Наукова думка, 1979. 2. Панасюк В.В., Саврук М.П.; Дацьшин А.Н. Распределение напряжений около трещин в пластинах и оболочках. - К.: Наукова думка, 1976.

Стаття надійшла в редколегію 12.05.82

УДК 539.3

Л. Я. Ощепко

### ОПТИМАЛЬНИЙ РОЗРАХУНОК ОБОЛОНОК ЕВІ

Задачі оптимального проектування пов"язані зі створенням більш якісних конструкцій і зводяться до розв"язання задач математичного програмування. Розв"язок шукається на підмножині повного класу розв"язків відповідно до значення цільової функції, що визначена на цій підмножині. Допустима підмножина визначається умовами, що накладаються на поведінку конструкції при заданому